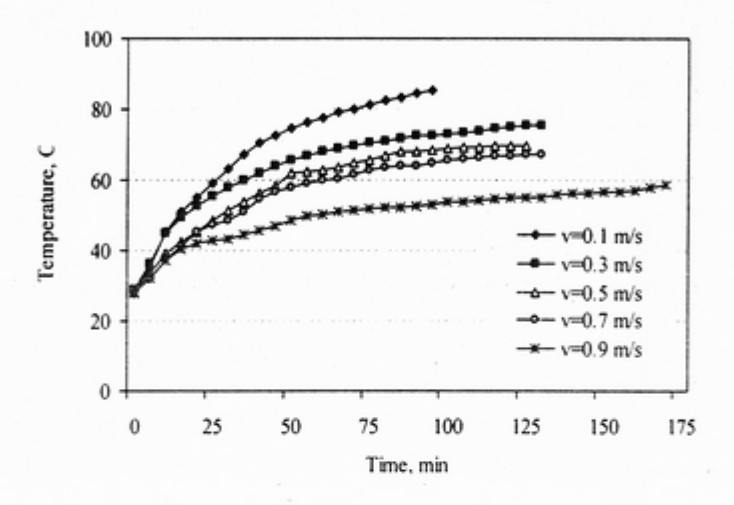
อำไพศักดิ์ ทีบุญมา ธนภัทร สุวรรณกูฏ และสมชาติ โสภณรณฤทธิ์

174

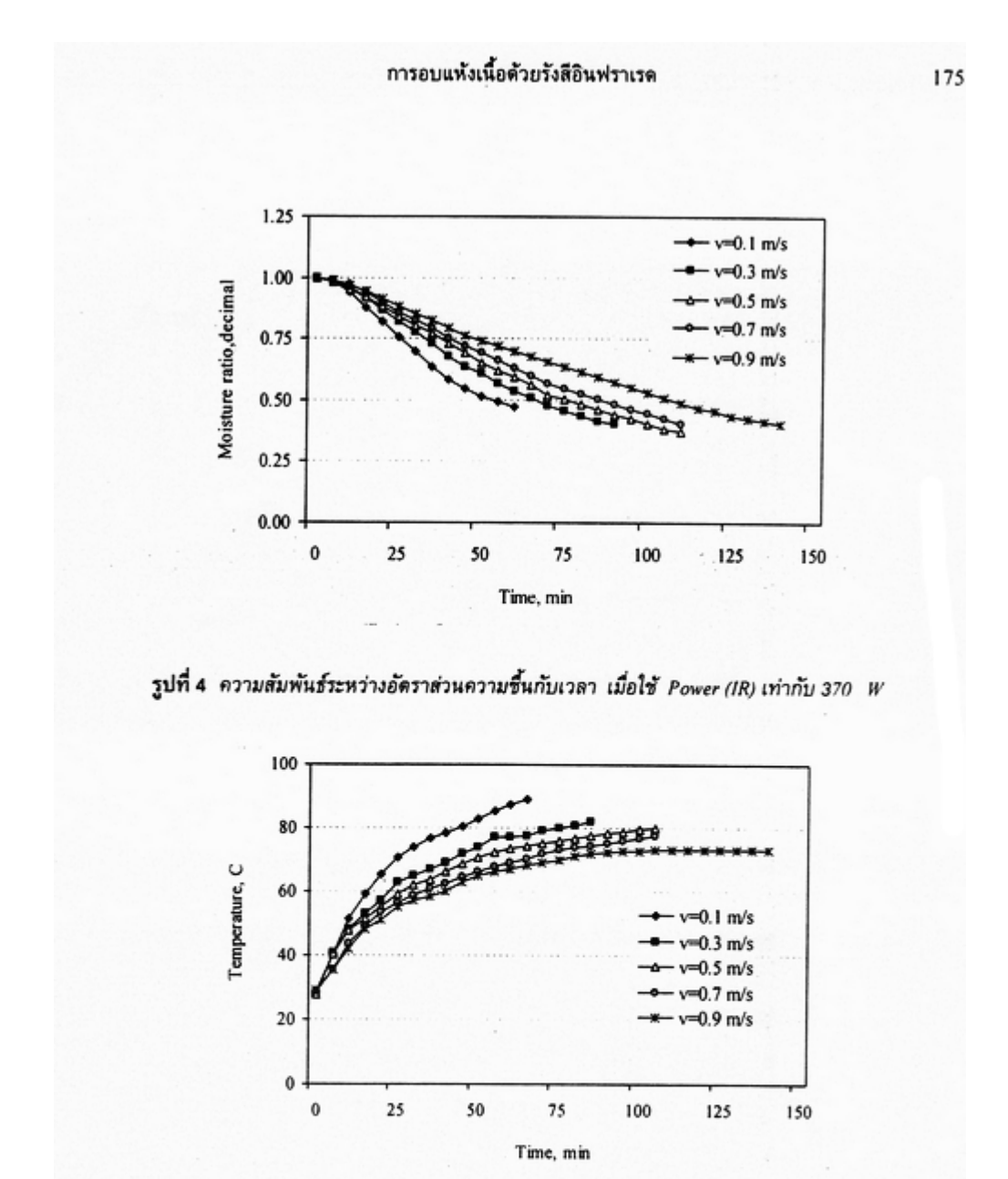
ไหลของอากาศที่สูงส่งผลทำให้อุณหภูมิที่ผิวและภายในผลิตภัณฑ์เพิ่มขึ้นน้อยกว่าในกรณีอัตราการไหล ต่ำ จึงส่งผลให้อัตราการอบแห้งลดลงด้วย ดังจะเห็นลักษณะการเปลี่ยนแปลงอุณหภูมิของผลิตภัณฑ์ได้ จากรูปที่ 3



รูปที่ 3 ความสัมพันธ์ระหว่างอุณหภูมิผลิตภัณฑ์กับเวลาเมื่อใช้ Power (IR) เท่ากับ 260 W

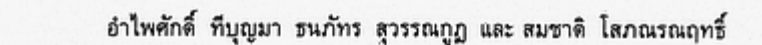
รูปที่ 3 แสดงความสัมพันธ์ระหว่างอุณหภูมิผลิตภัณฑ์กับระยะเวลาในการอบแห้ง ที่ความเร็ว ลมต่าง ๆ พบว่าอุณหภูมิผลิตภัณฑ์ในช่วงแรกจะเพิ่มขึ้นอย่างรวดเร็ว แต่เมื่ออุณหภูมิสูงขึ้นถึงจุดจุด หนึ่งอุณหภูมิผลิตภัณฑ์จะมีการเปลี่ยนแปลงค่อนข้างน้อย เนื่องจากผลิตภัณฑ์เริ่มเข้าสู่สภาวะสมคุล พลังงาน หากเปรียบเทียบที่ความเร็วลมต่าง ๆ จะเห็นว่าที่ความเร็วลม 0.1 m/s จะมีความชันของการ เปลี่ยนแปลงอุณหภูมิมากที่สุด และอุณหภูมิผลิตภัณฑ์ก็จะสูงกว่าที่ความเร็วลมอื่นด้วย นอกจากนี้เมื่อ เปรียบเทียบกับทุกความเร็วลม ความเร็วลมที่มากขึ้นจะได้กราฟที่มีความชันลดลงเรื่อย ๆ ซึ่ง สามารถอธิบายได้ว่าความเร็วลมมากทำให้การเพิ่มขึ้นของอุณหภูมิเนื้อวัวน้อยลง เนื่องจากอากาศ นอกจากจะนำพาเอาความชื้นของผลิตภัณฑ์ออกไปแล้ว ยังนำพาเอาความร้อนจากบริเวณผิวของ ผลิตภัณฑ์ออกไปด้วย ดังนั้นเมื่อความเร็วลมเพิ่มมากขึ้นจึงส่งผลให้อุณหภูมิผลิตภัณฑ์เพิ่มขึ้นน้อยลง

รูปที่ 4 แสดงความสัมพันธ์ระหว่างอัตราส่วนความชื้นกับเวลา เป็นการทดลองอบแห้งโดย ป้อน Power เท่ากับ 370 W ให้กับแท่งรังสือินฟราเรด เมื่อใช้อัตราส่วนความชื้นเท่ากับ 0.5 เป็น เกณฑ์ในการเปรียบเทียบ และกำหนดให้ที่ความเร็วลม 0.1 m/s เป็นค่าอ้างอิงเปรียบเทียบกับที่ ความเร็วลม 0.3 m/s พบว่าเวลาในการอบแห้งจะเพิ่มขึ้น 30 เปอร์เซ็นต์ และเมื่อเปรียบเทียบกับที่ ความเร็วลม 0.5 m/s, 0.7 m/s และ 0.9 m/s พบว่าจะต้องใช้เวลาเพิ่มขึ้นเป็น 50, 70 และ 110 เปอร์เซ็นต์ ตามลำดับ สำหรับเหตุผลที่เป็นเช่นนี้สามารถอธิบายได้ในทำนองเดียวกันกับกรณีที่ผ่านมา ในส่วนของการเปลี่ยนแปลงอุณหภูมิสำหรับกรณีนี้แสดงได้ดังรูปที่ 5

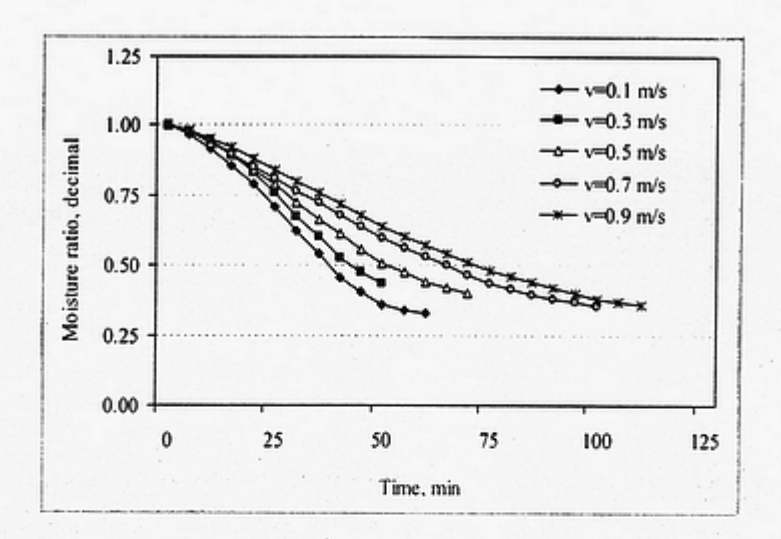


รูปที่ 5 ความสัมพันธ์ระหว่างอุณหภูมิผลิตภัณฑ์กับเวลาเมื่อใช้ Power (IR) เท่ากับ 370 W ในรูปที่ 5 แสดงความสัมพันธ์ระหว่างอุณหภูมิผลิตภัณฑ์กับระยะเวลาในการอบแห้งพบว่า แนวโน้มของกราฟจะคล้ายกับรูปที่ 3 คือเมื่อความเร็วลมเพิ่มขึ้นอุณหภูมิผลิตภัณฑ์จะเพิ่มขึ้นน้อยกว่า กรณีที่ความเร็วลมต่ำ

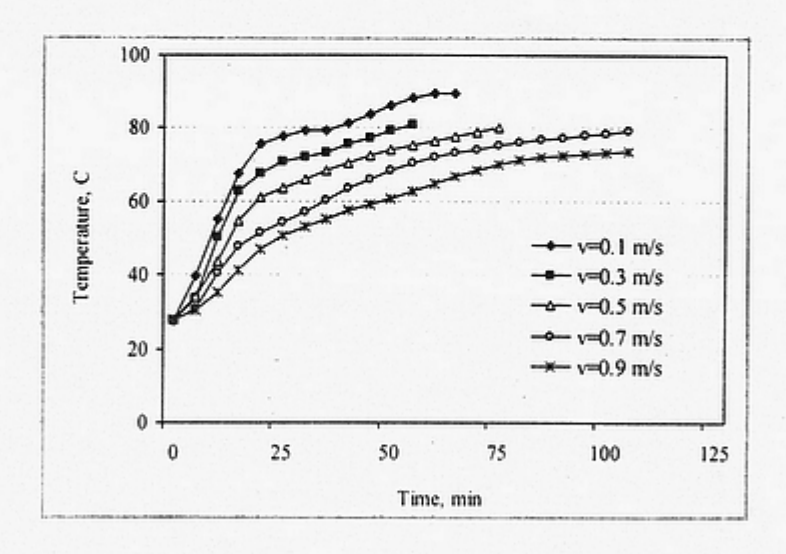
ในรูปที่ 6 แสดงความสัมพันธ์ระหว่างอัตราส่วนความชื้นกับเวลา โดยป้อน Power เท่ากับ 470 W ให้กับแท่งรังสีอินฟราเรด จากรูปจะเห็นว่าที่ความเร็วเท่ากับ 0.1 m/s จะสามารถลดความขึ้นของ ผลิตภัณฑ์ได้เร็วที่สุด ในขณะที่ความขึ้นจะลดลงข้าที่สุดเมื่อใช้ความเร็วลมเท่ากับ 0.9 m/s



176

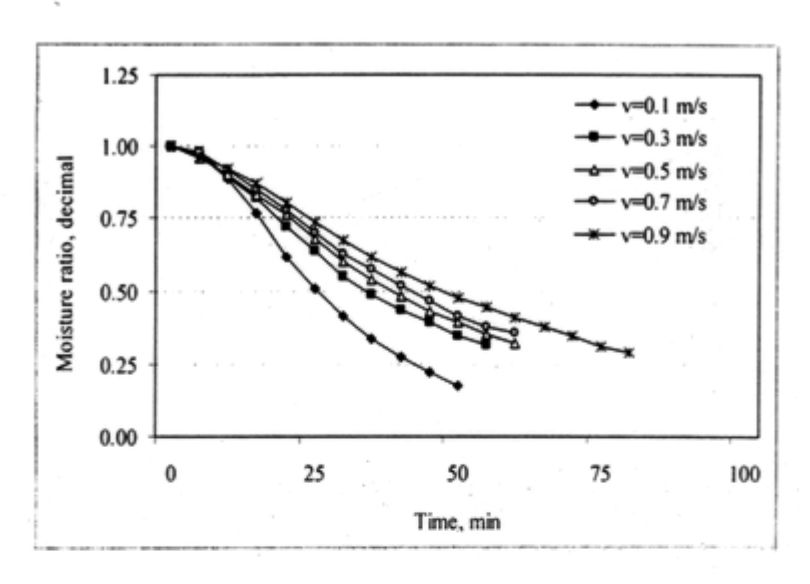


รูปที่ 6 ความสัมพันธ์ระหว่างอัตราส่วนความชื้นกับเวลา เมื่อใช้ Power (IR) เท่ากับ 470 W

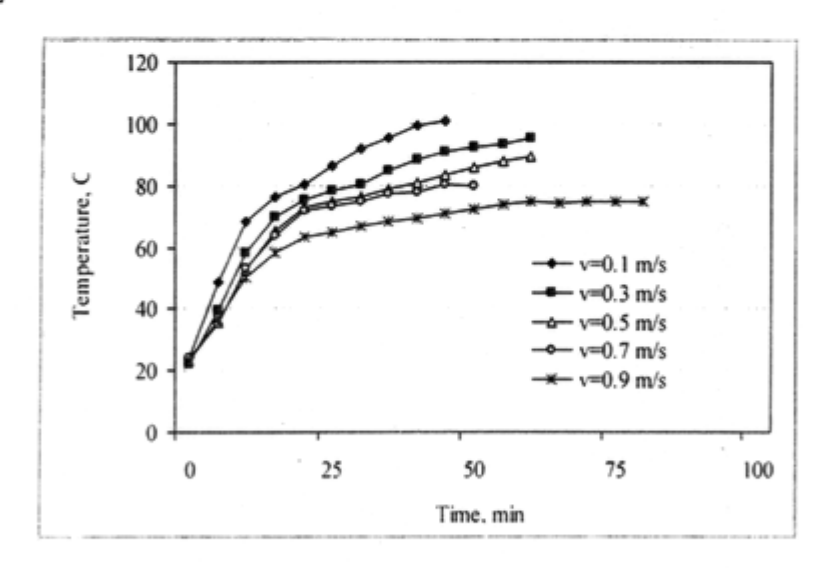


รูปที่ 7 ความสัมพันธ์ระหว่างอุณหภูมิผลิตภัณฑ์กับเวลา เมื่อใช้ Power (IR) เท่ากับ 470 W ในรูปที่ 7 แสดงความสัมพันธ์ระหว่างอุณหภูมิผลิตภัณฑ์กับระยะเวลาในการอบแห้ง พบว่า แนวโน้มของกราฟคล้ายกับรูปที่ 3 โดยเมื่อความเร็วลมเพิ่มขึ้นอุณหภูมิผลิตภัณฑ์จะเพิ่มขึ้นน้อยลง

ในรูปที่ 8 และ 9 แสดงความสัมพันธ์ระหว่างอัตราส่วนความชื้นกับเวลา และความสัมพันธ์ ระหว่างอุณหภูมิผลิตภัณฑ์กับระยะเวลา ตามลำดับ ซึ่งป้อน Power เท่ากับ 640 W ให้กับแท่งรังสื อินฟราเรด จากผลการทดลองจะเห็นว่ามีแนวโน้มที่คล้ายกันกับกรณีที่ผ่านมา กล่าวคือ อัตราการลดลง ของความชื้นจะเกิดขึ้นอย่างรวดเร็วที่ความเร็วลมต่ำ ๆ ในขณะที่อุณหภูมิของผลิตภัณฑ์ก็จะเพิ่มขึ้นอย่าง รวดเร็วเช่นกัน



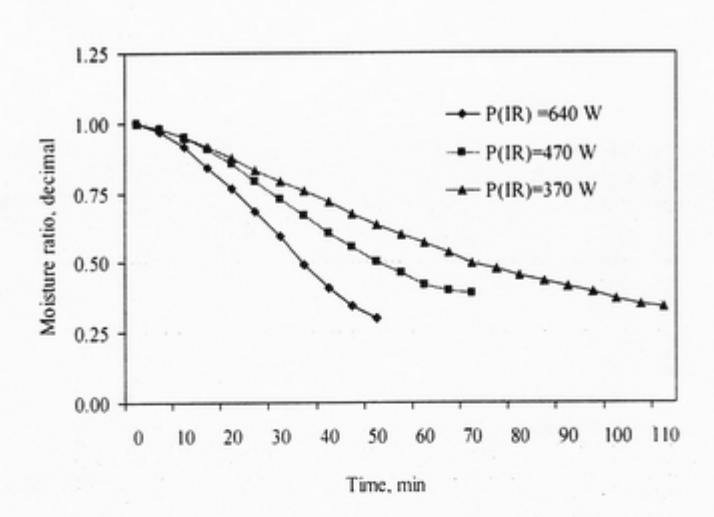
รูปที่ 8 ความสัมพันธ์ระหว่างอัดราส่วนความขึ้นกับเวลา เมื่อใช้ Power (IR) เท่ากับ 640 W



รูปที่ 9 ความสัมพันธ์ระหว่างอุณหภูมิผลิตภัณฑ์กับเวลา เมื่อใช้ Power (IR) เท่ากับ 640 W



178



รูปที่ 10 ความสัมพันธ์ระหว่างอัดราส่วนความชื้นกับเวลาที่กำลังวัดด์อินฟราเรดด่าง ๆ เมื่อความเร็วลมเป็นศูนย์

ในรูปที่ 10 แสดงความสัมพันธ์ระหว่างอัตราส่วนความชื้นกับเวลา โดยกำหนดให้ความเร็วลม เป็นศูนย์ จากกราฟที่ Power เท่ากับ 640 W จะมีอัตราส่วนความชื้นลดลงเร็วที่สุด เมื่อเปรียบเทียบกับ power อื่น ๆ หากกำหนดให้อัตราส่วนความชื้นเท่ากับ 0.5 เป็นเกณฑ์ในการเปรียบเทียบ พบว่าที่ power เท่ากับ 640 W จะใช้เวลาในการอบแห้งสั้นกว่าที่ power เท่ากับ 470 W และ 370 W เท่ากับ 43 และ 100 เปอร์เซ็นต์ ตามลำตับ ซึ่งเป็นผลมาจากแท่งอินฟราเรดปล่อยพลังงานให้กับผลิตภัณฑ์มากขึ้น ตามกำลังที่ป้อนให้ ทำให้อุณหภูมิผลิตภัณฑ์เพิ่มขึ้นตามไปด้วย ส่งผลให้น้ำในเนื้อระเหยได้เร็วขึ้น

ผลการทดลองของกรณีนี้ไม่ได้นำไปเปรียบเทียบกับที่ความเร็วอื่น ๆ เนื่องจากที่ความเร็วลม เป็นคูนย์ อัตราส่วนความชื้นกับเวลาจะมีค่าใกล้เคียงกับที่ความเร็วลม 0.3 และ 0.5 m/s เมื่อนำมาเขียน กราฟจะได้ค่าใกล้เคียงกันมากทำให้เส้นกราฟที่ได้ทับกัน และยากต่อการสังเกต ดังนั้นจึงได้นำเลนอแยก ต่างหาก

ผลของความเร็วลมและกำลังวัตต์ต่อการเปลี่ยนแปลงของสื

จากผลการทดลองดังแสดงไว้ในตารางที่ 1 สามารถสรุปการเปลี่ยนของสีได้ดังนี้

 เมื่อกำหนดให้กำลังงานไฟฟ้าที่ป้อนให้กับแท่งอินฟราเรดดงที่ พบว่าการเปลี่ยนแปลง ของสีจะเพิ่มมากขึ้นถ้าลดความเร็วลม ทั้งนี้เนื่องจากการลดความเร็วลมลง จะส่งผลทำให้ อุณหภูมิผิวเพิ่มสูงขึ้น ดังนั้นจึงเกิดการเปลี่ยนแปลงของสีค่อนข้างมาก

การอบแห้งเนื้อตัวยรังสีอินฟราเรด

 เมื่อกำหนดให้ความเร็วลมคงที่ พบว่าการเปลี่ยนของสีจะเพิ่มมากขึ้นเมื่อเพิ่มกำลังงาน ไฟฟ้าที่ป้อนให้กับแท่งอินฟราเรด ซึ่งเกิดจากการที่ผลิตภัณฑ์ได้รับพลังงานมากขึ้น ทำ ให้อุณหภูมิของผลิตภัณฑ์มีค่าสูง ส่งผลให้สีที่ผิวค่อนข้างเข้ม

179

Power (IR). W	Air velocity, m/s	การเปลี่ยนแปลงสี (Δ E)	
640	0.3	28.2	
640	0.5	21.7	
640	0.7	13.5	
470	0.3	15.8	
470	0.5	12.6	
470	0.7	8.6	
370	0.3	9.2	
370	0.5	8.2	
370	0.7	7.2	

ตารางที่ 1 ผลการทดลองการเปลี่ยนแปลงของสี

สรุปผลการทดลอง

งานวิจัยนี้ได้ทำการศึกษาการอบแห้งเนื้อวัวด้วยอินฟราเรด ซึ่งได้ศึกษาถึงผลของความเร็วลม และกำลังวัตต์ของอินฟราเรดต่อระยะเวลาอบแห้ง อุณหภูมิ และสีของผลิตภัณฑ์ จากการศึกษาพบว่า เมื่อลดความเร็วลม และเพิ่มกำลังไฟฟ้าที่ป้อนให้กับแท่งอินฟราเรต จะมีผลทำให้ระยะเวลาการอบแห้ง สั้นลง ในขณะอุณหภูมิของผลิตภัณฑ์มีแนวโน้มเพิ่มสูงขึ้น นอกจากนั้นยังพบว่า การเปลี่ยนแปลงของ สีเนื้อจะเพิ่มมากขึ้น เมื่อลดความเร็วลม และเพิ่มกำลังไฟฟ้าที่ป้อนให้กับแท่งอินฟราเรด

กิตติกรรมประกาศ

งานวิจัยนี้ได้รับการสนับสนุนจากมหาวิทยาลัยอุบลราชธานี สำนักงานกองทุนสนับสนุนการ วิจัย (สกว.) และสำนักงานคณะกรรมการการอุดมศึกษา (สกอ.)

เอกสารอ้างอิง

Afzal, T.M. and Abe, T. 1998. "Diffusion in potato during far infrared radiation drying". Journal of Food Engineering, 37: 353-365.

Afzal, T.M. and Abe, T. 2000. "Simulation of moisture changes in barley during far infrared radiation drying". Computers and Electronics in Agriculture. 26: 137-145.

Chu, K.J. and Chou, S.K. 2003. "Low-cost drying methods for developing countries". Trends in Food Science & Technology, 14: 519-528.

อำไพศักดิ์ ทีบุญมา ธนภัทร สุวรรณกูฏ และ สมชาติ โสภณรณฤทธิ์

180

- Glouannec, P., Lecharpentier, D., and Noel, H. 2002. "Experimental survey on the combination of radiating infrared and microwave sources for the drying of porous material". Applied Thermal Engineering. 22:1689-1703.
- Hashimoto, A. and Kameoka, T. 1999. "Effect of infrared irradiation on drying characteristics of wet porous materials." Drying Technology-An International Journal. 17: 1613 -1626.
- Isengard, H.D. 1995. "Rapid water determination in foodstuffs". Trends in Food Science & Technology. 6: 155-162.
- Sakai, N. and Hanzawa, T. 1994. "Applications and advances in far-infrared heating in Japan". Trends in Food Science & Technology. 5: 357-362.
- Sheridan, P. and Shilton, N. 1999. "Application of for infrared radiation to cooking of meat Products". Journal of Food Engineering. 41: 203-208.
- Soponronnarit, S., Nattawut, D., Hirunlabh, J., Namprakai, P., and Thepa, S. 1992. "Computer Simulation of Solar Energy Assisted Fruit Drying". RERIC International Energy Journal. 14: 59-70.

วิศวกรรมสาร มข. ปีที่ 34 ฉบับที่ 2 (189 - 201) มีนาคม – เมษายน 2550 KKU Engineering Journal Vol. 34 No .2 (189 - 201) March – April 2007

บทความวิจัย

การศึกษาเปรียบเทียบการอบแห้งด้วยลมร้อน และลมร้อนร่วมรังสีอินฟราเรด^{*}

อำไพศักดิ์ ทีบุญมา¹⁾ และ ธนภัทร สุวรรณกูฏ¹⁾ ¹⁾คณะวิศวกรรมศาสตร์ มหาวิทยาลัยอุบลราชธานี อ.วารินชำราบ จ.อุบลราชธานี 34190

Email: enaumpte@ubu.ac.th

บทคัดย่อ

งานวิจัยนี้มีวัตถุประสงค์เพื่อ ศึกษาเปรียบเทียบจลนศาสตร์การอบแห้งและความสิ้นเปลือง พลังงาน ของการอบแห้งค้วยลมร้อน และการอบแห้งค้วยลมร้อนร่วมรังสีอินฟราเรค ซึ่งมีตัวแปรที่ศึกษา คือ อุณหภูมิอบแห้ง ความเร็วลม และกำลังงานที่จ่ายให้กับแท่งอินฟราเรค โดยระยะห่างระหว่างแท่ง อินฟราเรคกับผลิตภัณฑ์และขนาดของผลิตภัณฑ์คงที่ สำหรับพารามิเตอร์ที่ใช้เป็นเกณฑ์ในการศึกษา เปรียบเทียบสมรรถนะการอบแห้ง คือ ระยะเวลาการอบแห้ง อัตราการอบแห้ง และความสิ้นเปลือง พลังงานจำเพาะ ผลจากการศึกษาพบว่า การอบแห้งด้วยลมร้อนร่วมกับรังสีอินฟราเรค ใช้ระยะเวลาการ อบแห้งสั้น อัตราการอบแห้งสูงและมีความสิ้นเปลืองพลังงานจำเพาะต่ำ เมื่อเทียบกับการอบแห้งด้วยลม ร้อนเพียงอย่างเดียว นอกจากนั้นยังพบว่า การอบแห้งเนื้อด้วยลมร้อนร่วมกับรังสีอินฟราเรด ควรใช้ ความเร็วลมอย่างน้อย 0.3 m/s เพื่อให้คุณภาพของผลิตภัณฑ์อยู่ในเกณฑ์ที่ยอมรับได้

คำสำคัญ : การอบแห้ง, รังสีอินฟราเรค, ลมร้อน

^{*} รับต้นฉบับเมื่อวันที่ 22 กันยายน 2549 และได้รับบทความฉบับแก้ไขเมื่อวันที่ 8 มกราคม 2550

190

Comparative Study of Drying using Hot Air and Hot Air-Infrared Radiation*

Umphisak Teeboonma 1) and Tanapat Suwanakoot 1) Faculty of Engineering, Ubon Ratchathani University, Ubon Ratchathani 34190

Email: enaumpte@ubu.ac.th

ABSTRACT

The research aims to investigate and compare the drying kinetics and energy consumption of two drying configurations which are only hot air and combined hot air-infrared radiation. Parameters varied in this study are drying air temperature, air velocity, and input power of an infrared heater. The distance between an infrared source and the product is constant. The product size is also kept constant. To compare the drying performance, measured parameters are drying time, drying rate, and specific energy consumption. From experiments, the combined hot air-infrared radiation provides shorter drying time, higher drying rate, and lower specific energy consumption than those of the only hot air system. Moreover, in the hot air-infrared system, it is commended that the hot air velocity should be at least 0.3 m/s in order to control the product quality being in an acceptable range.

Keywords: Drying, Infrared radiation, Hot air

Original manuscript submitted: September 22, 2006 and Final manuscript received: January 8, 2006

การศึกษาเปรียบเทียบการอบแห้งด้วยลมร้อนและลมร้อนร่วมรังสีอินฟราเรด

191

บทน้ำ

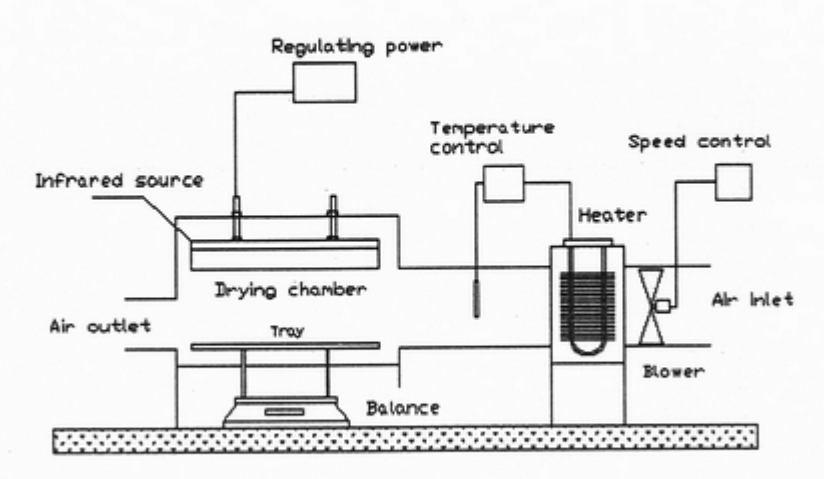
ปัญหาด้านพลังงาน เป็นปัญหาที่มีความสำคัญสำหรับประเทศไทย เนื่องจากประเทศไทยมี ปริมาณความต้องการใช้พลังงานในด้านต่างๆ เพิ่มขึ้นเรื่อยๆ ทุกปี เช่น น้ำมันเชื้อเพลิง หรือพลังงาน ไฟฟ้า ซึ่งพลังงานเหล่านี้มีความสำคัญต่อระบบเศรษฐกิจ และการพัฒนาประเทศในด้านต่างๆ ดังนั้น เพื่อป้องกันผลกระทบของปัญหาด้านพลังงาน การส่งเสริมให้มีการใช้พลังงานอย่างคุ้มค่า จึงเป็น ประเด็นที่มีความสำคัญอย่างยิ่ง เพื่อนำไปสู่การพัฒนาที่ยั่งยืนในอนาคต การอบแห้งเป็นกระบวนลด ความชิ้นของผลิตภัณฑ์ ซึ่งในกระบวนการจะมีการใช้พลังงานค่อนข้างสูง ดังนั้นการหาแนวทางการใช้ พลังงานอย่างมีประสิทธิภาพในการอบแห้งจึงเป็นเรื่องที่น่าสนใจ การลดความชื้นของผลิตภัณฑ์ สามารถทำได้หลายวิธี เช่น การอบแห้งด้วยไอน้ำร้อนยวดยิ่ง การอบแห้งด้วยรังสีอินฟาเรด และการ อบแพ้งด้วยปั้มความร้อน ซึ่งการอบแพ้งในแต่ละวิธีก็จะมีทั้งข้อดีและข้อเสีย เช่น การอบแพ้งด้วยลมร้อน เป็นเทคนิคหนึ่งที่มีการใช้อย่างแพร่หลาย เนื่องจากมีต้นทุนในการสร้างเครื่องที่ต่ำเมื่อเทียบกับวิธีอื่น ๆ ที่ได้กล่าว (Chu et al.,2003) นอกเหนือจากการอบแห้งด้วยลมร้อนแล้วยังมือีกเทคนิคหนึ่งที่มีต้นทุนต่ำ คือ การอบแห้งด้วยรังสีอินฟราเรต (Chu et al.,2003; Isengard,1995) ซึ่งมีจุดเด่นที่น่าสนใจ คือ ประการแรก พลังงานจากรังสีอินฟราเรดจะถูกแผ่ไปยังวัสดุซึ่งจะทำให้โมเลกุลของน้ำภายในวัสดุสั้น และ เกิดความร้อนขึ้น ทำให้อุณหภูมิภายในวัสดุสูงกว่าอุณหภูมิที่ผิว(Glouannec et al.,2002; Sakai et al.,1994) ประการที่สอง แท่งรังสีอินฟราเรตให้ heat flux สูง (Afzal et al.,1998; Sheridan et al.,1999; Hashimoto et al.,1999) ดังนั้นอุปกรณ์จึงมีขนาดเล็ก ทำให้สามารถออกแบบเครื่องอบแห้งที่มีขนาด กะทัดรัด ประการที่สาม การให้ความร้อนโดยการแผ่รังสีจะทำให้อุณหภูมิกระจายค่อนข้างสม่ำเสมอ (Afzal et al., 2000) และต้องการอากาศหมุนเวียนเพียงเล็กน้อย ทำให้สามารถใช้พัดลมขนาดเล็ก ซึ่ง เป็นการลดทั้งต้นทุนอุปกรณ์ และค่าพลังงาน และประการสุดท้าย คือ รังสีอินฟราเรดสามารถนำไปใช้ ควบคู่กับระบบอื่นได้ง่ายเนื่องจากใช้พื้นที่ในการติดตั้งที่น้อย และไม่มีความซับซ้อนของระบบ (Chu et al.,2003) ข้อสรุปเบื้องต้นจากงานวิจัยผ่านมาพบว่า การอบแห้งด้วยลมร้อนและด้วยรังสีอินฟราเรด ต่างก็มีทั้งข้อดีและข้อเสียต่างกันไป ดังนั้นงานวิจัยนี้จึงมีแนวคิดที่จะผสมผสานเทคนิคการอบแห้งด้วย ลมร้อนร่วมกับรังสีอินฟราเรด โดยเลือกใช้เนื้อวัวเป็นตัวอย่างในการทดลอง ทั้งนี้เนื่องจาก ได้ร่วมมือ กับผู้ประกอบการ เพื่อหาเทคนิคการอบแห้งที่เหมาะสำหรับการทำเนื้อแดดเดียว

อุปกรณ์และวิธีการทดลอง

ชุดทดลอง

เครื่องอบแห้งที่ใช้ในการศึกษา เป็นเครื่องอบแห้งลมร้อนร่วมกับรังสือินฟราเรดไกล ซึ่ง ออกแบบให้สามารถอบแห้งได้ทั้งลมร้อนเพียงอย่างเคียว และลมร้อนร่วมกับรังสือินฟราเรด ซึ่งมี ลักษณะการทำงานดังแสดงในรูปที่ 1 และมีรายละเอียดดังนี้ ขนาดห้องอบแห้งเท่ากับ 30 x 50 x 25 cm (กว้าง x ยาว x สูง) อุปกรณ์ให้ความร้อนเป็นแท่งรังสือินฟราเรด 1 แท่งขนาด 650 W ระยะห่าง ระหว่างแท่งรังสือินฟราเรดกับผลิตภัณฑ์เท่ากับ 15 cm ในแนวตั้งฉาก และขดลวดความร้อนขนาด

800 W พัดลมเป็นแบบไหลตามแนวแกน มอเตอร์ขนาด 30 W สามารถปรับความเร็วรอบได้



รูปที่ 1 เครื่องอบแห้งแบบลมร้อนร่วมกับรังสีอินฟราเรด

วิธีการทดลอง

192

ในการทดลอง ได้เลือกใช้เนื้อวัวเป็นตัวอย่างในการอบแห้ง ซึ่งมุ่งเน้นศึกษาและอบแห้งเนื้อวัว ให้เหลือความชื้นสุดท้าย ใกล้เคียงกับเนื้อแดดเดียวที่วางขายตามท้องตลาด เนื่องจากงานวิจัยนี้ได้ ร่วมมือกับกลุ่มเกษตรกร เพื่อหาเทคนิคการอบแห้งเนื้อแดดเดียวที่เหมาะสม สำหรับกรณีที่ปริมาณ แสงแดดมีไม่เพียงพอต่อการตากแดด หรือการอบแห้งเนื้อแดดเดียวดี่เหมาะสม สำหรับกรณีที่ปริมาณ แสงอาทิตย์ งานวิจัยนี้ได้ออกแบบการทดลองเป็น 2 ส่วนหลักๆ คือ การอบแห้งด้วยลมร้อน โดยมี เงื่อนไขการอบแห้ง คือ อุณหภูมิอบแห้ง 50-60°C ความเร็วลม 0.5-1.5 m/s ในส่วนที่ 2 คือ การ อบแห้งด้วยลมร้อนร่วมกับรังสีอินฟราเรด ซึ่งมีเงื่อนไขการทดลอง คือ อุณหภูมิขาเข้าห้องอบแห้ง เท่ากับ 40°C ส่วนแท่งรังสีอินฟราเรดจะป้อนพลังงานในช่วง 260-640 W และเปลี่ยนแปลงความเร็ว ลมอยู่ระหว่าง 0.1-1.0 m/s สำหรับการบันทึกข้อมูลต่างๆ ระหว่างทำการทดลอง มีรายละเอียดตั้งนี้ อุณหภูมิอากาศที่ตำแหน่งต่าง ๆ วัดโดยใช้เทอร์โมคัปเปิลชนิด K ต่อเข้ากับ data logger ความเร็ว ของอากาศวัดโดยใช้ hot wire anemometer การเปลี่ยนแปลงน้ำหนักของผลิตภัณฑ์อ่านค่าจากเครื่อง ชั่งแบบดิจิดอล ที่มีคำความละเอียด 0.1 กรัม สำหรับเงื่อนไขเริ่มต้นต่างๆ ของผลิตภัณฑ์ที่นำมา ทดลอง คือ เนื้อมีความชิ้นเริ่มต้นประมาณ 300 เปอร์เซ็นต์มาตรฐานแห้ง โดยจัดเตรียมให้มีขนาด 3 x10 x1 cm. (กว้าง x ยาว x สูง) และในการทดลองแต่ละครั้งใช้เนื้อเท่ากับ 300 กรัม

ในส่วนของเงื่อนไขที่เลือกใช้ในการวิเคราะห์ข้อมูลต่าง เป็นช่วงที่เนื้อมีคุณสมบัติสอดคล้องกับ คุณสมบัติเนื้อแดดเดียวที่วางขายตามท้องตลาด คือ ความชื้นสุดท้ายประมาณ 140 เปอร์เซ็นต์ มาตรฐานแห้ง หรืออัตราส่วนความชื้นประมาณ 0.5 โดยที่อัตราส่วนความชื้น (Moisture ratio, MR) การศึกษาเปรียบเทียบการอบแห้งด้วยลมร้อนและลมร้อนร่วมรังสีอินฟราเรด 193

คำนวณจาก

$$MR = \frac{M_t - M_{eq}}{M_{in} - M_{eq}} \tag{1}$$

เมื่อ M_{in} คือ ความชื้นเริ่มต้น, เปอร์เซ็นต์มาตรฐานแห้ง
 M_t คือ ความชื้นที่เวลาใดๆ, เปอร์เซ็นต์มาตรฐานแห้ง
 M_{eq} คือ ความชื้นสมดุล, เปอร์เซ็นต์มาตรฐานแห้ง

การคำนวณอัตราส่วนความชื้นในงานวิจัยนี้ เป็นการคำนวณโดยประมาณค่า คือ ไม่คิด ความชื้นสมดุล โดยตั้งสมมุติฐานว่ามีค่าน้อย เมื่อเทียบกับความชื้นเริ่มต้นและความชื้นที่เวลาใดๆ

การวิเคราะห์สมรรถนะ

งานวิจัยนี้ได้ศึกษาเปรียบเทียบการอบแห้งด้วยลมร้อน และลมร้อนร่วมกับรังสีอินฟราเรด ซึ่งได้ กำหนดพารามิเตอร์เพื่อใช้เป็นเกณฑ์ในการศึกษาเปรียบเทียบดังนี้

อัตราการอบแห้ง (Drying Rate, DR) สามารถคำนวณได้จากสมการที่ (2)

อัตราการอบแห้ง (DR) =
$$\frac{m_w}{DT}$$
 (2)

เมื่อ m_w คือ มวลของน้ำที่ระเหย (กิโลกรัม, kg)

DT คือ เวลาที่ใช้ในการอบแห้ง (ชั่วโมง, hr)

ความสิ้นเปลืองพลังงานจำเพาะ (Specific energy consumption, SEC) สำหรับการอบแห้งด้วย ลมร้อน จำนวณได้จาก

$$SEC_{HA} = \frac{E_{fan} + E_{heater}}{m_w}$$
(3)

ความสิ้นเปลืองพลังงานจำเพาะ กรณีอบแห้งด้วยลมร้อนร่วมกับรังสีอินฟราเรด คำนวณได้จาก สมการที่ (4)

$$SEC_{HA+IR} = \frac{E_{fon} + E_{heater} + E_{IR}}{m_w}$$
(4)

เมื่อ E_{sa} คือ พลังงานที่ให้กับพัดลม (MJ)

E_{beater} คือ พลังงานที่ให้กับขดลวดความร้อน (MJ)

E_{IR} คือ พลังงานที่ให้กับแท่งอินฟราเรด (MJ)

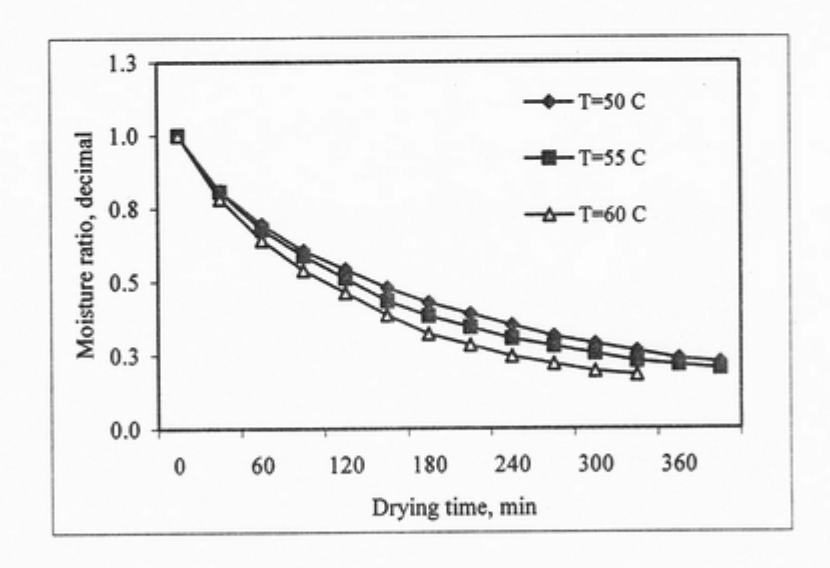
ผลการทดลองและวิจารณ์

ในงานวิจัยนี้ ได้ทคลองและวิเคราะห์การอบแห้งเนื้อแคดเดียวด้วยลมร้อน และกรณีลมร้อน ร่วมกับรังสีอินฟราเรด ซึ่งผลจากการศึกษาสามารถสรุปได้ดังนี้

การอบแห้งเนื้อด้วยลมร้อน

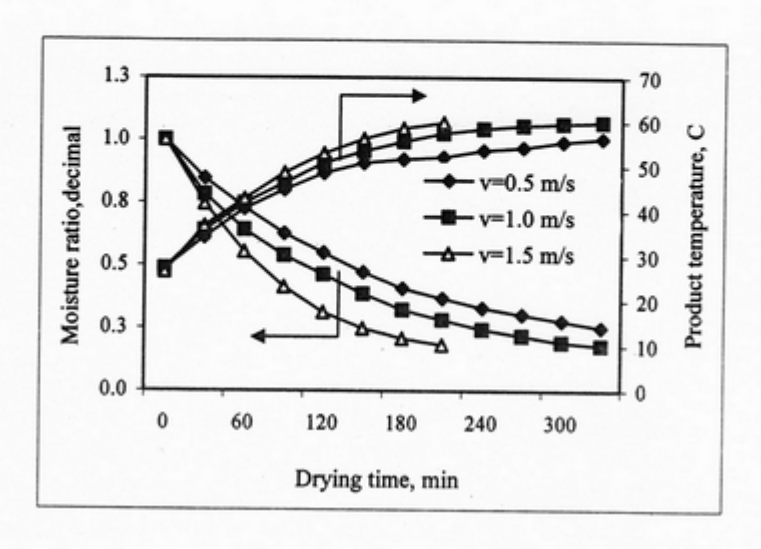
194

การศึกษาในส่วนนี้ ได้ทำการทดลองเพื่อศึกษาถึงผลของอุณหภูมิอากาศอบแห้ง และความเร็ว ลม ที่มีต่อพฤติกรรมการอบแห้งเนื้อ รวมทั้งความสิ้นเปลืองพลังงานจำเพาะ ซึ่งมีรายละเอียดของผล การศึกษาดังนี้



รูปที่ 2 ความสัมพันธ์ระหว่างอัตราส่วนความชื้นกับเวลา ที่ความเร็วลม 1.0 m/s

รูปที่ 2 แสดงความสัมพันธ์ระหว่างอัตราส่วนความชื้นกับเวลาในการอบแห้งเนื้อวัวด้วยลมร้อน ที่อุณหภูมิอบแห้งต่าง ๆ โดยใช้ความเร็วลม 1.0 m/s จากรูปสรุปได้ว่า การอบแห้งที่อุณหภูมิ 60°C อัตราส่วนความชื้นของผลิตภัณฑ์จะลดลงเร็วที่สุด ทั้งนี้เนื่องจาก เนื้อแดดเดียวได้รับพลังงานความ ร้อนมากที่สุด ทำให้อัตราการระเหยน้ำจากผลิตภัณฑ์สูงตามด้วย ดังจะเห็นได้จากอัตราการเพิ่มขึ้นของ อุณหภูมิภายในเนื้อ ซึ่งแสดงไว้ในรูปที่ 3 และหากใช้อัตราส่วนความชื้นเท่ากับ 0.5 เป็นเกณฑ์ในการ พิจารณา พบว่า การอบแห้งที่อุณหภูมิ 60°C จะใช้เวลาสั้นกว่าการอบแห้งที่อุณหภูมิ 55°C และ 50°C เท่ากับ 17 และ 42 เปอร์เซ็นด์ตามลำดับ



รูปที่ 3 ความสัมพันธ์ระหว่างอัตราส่วนความขึ้น อุณหภูมิผลิตภัณฑ์กับเวลา ที่อุณหภูมิอบแห้ง 60°C

รูปที่ 3 แสดงให้เห็นความสัมพันธ์ของอัตราส่วนความชื้น อุณหภูมิเนื้อกับเวลา ที่ความเร็วลม ต่างๆ โดยควบคุมอุณหภูมิอบแห้งให้คงที่เท่ากับ 60°C จากรูปที่ 3 จะเห็นว่าอัตราการลดลงของ อัตราส่วนความชื้นในกรณีที่ใช้ความเร็วลมสูง จะลดลงเร็วกว่ากรณีที่ใช้ความเร็วลมต่ำ ซึ่งสามารถ อธิบายได้ว่า กรณีที่ใช้ความเร็วลมสูง ปริมาณพลังงานความร้อนที่ถ่ายเทให้กับเนื้อก็มีปริมาณมาก ซึ่งจะ สอดคล้องกับลักษณะการเพิ่มขึ้นของอุณหภูมิเนื้อ ส่งผลให้อัตราการระเหยน้ำภายในเนื้อสูงตาม ดังนั้น จากเหตุผลที่กล่าวมา เนื้อจึงสามารถลดความชื้นได้เร็วขึ้นเมื่อเพิ่มความเร็วลม

ตารางที่ 1 แสดงผลการศึกษาถึงความสิ้นเปลืองพลังงานจำเพาะกับอุณหภูมิอบแห้ง กรณี อบแห้งด้วยลมร้อน จะมีการใช้พลังงาน 2 ส่วน คือ พลังงานที่จ่ายให้พัดลมและพลังงานที่จ่ายให้ขด ลวดความร้อน ผลจากการศึกษาสรุปได้ดังนี้

- พิจารณาที่ความเร็วลมคงที่ จากการศึกษาพบว่า ความสิ้นเปลืองพลังงานจำเพาะจะลดลง เมื่อเพิ่มอุณหภูมิอบแห้ง ทั้งนี่ เนื่องจากเวลาที่ใช้ในการอบแห้งจะสั้น
 - พิจารณาที่อุณหภูมิคงที่

จากการศึกษาพบว่า ความสิ้นเปลืองพลังงานจำเพาะจะลดลง เมื่อเพิ่มความเร็วลม ทั้งนี้เพราะ การอบแห้งด้วยลมร้อน ความเร็วลมจะมีผลต่อการนำพาความชิ้นออกจากผลิตภัณฑ์ ทำให้สามารถลด ระยะเวลาการอบแห้ง

Drying temperature (°C)	Velocity (m/s)	Drying time (min)	Drying rate (kg/hr)	Specific energy consumption (MJ/kg-H ₂ O evap)
50	0.5	195	0.015	63.3
	1.0	170	0.018	104.2
55	0.5	160	0.019	614.0
	1.0	140	0.021	102.4
60	0.5	135	0.022	59.5
	1.0	120	0.025	101.4

ตารางที่ 1 ผลการทดลองการอบแห้งเนื้อด้วยลมร้อนเมื่อพิจารณาที่อัตราส่วนความขึ้นเท่ากับ 0.5

การอบแห้งด้วยลมร้อนร่วมกับรังสีอินฟราเรด

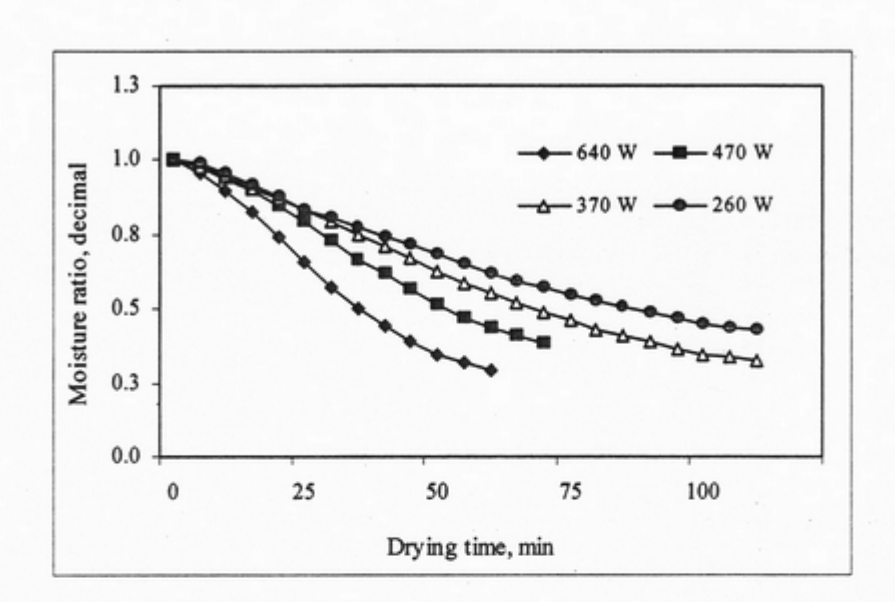
196

การศึกษาในส่วนการอบแห้งเนื้อด้วยลมร้อนร่วมกับรังสีอินฟราเรด ได้ศึกษาถึงผลของ กำลังไฟฟ้าที่จ่ายให้กับแท่งอินฟราเรด และความเร็วลมที่มีผลต่อพฤติกรรมการอบแห้ง และความ สิ้นเปลืองพลังงานจำเพาะ ผลจากการทดลองสามารถแสดงได้ดังรูปที่ 4 และ 5

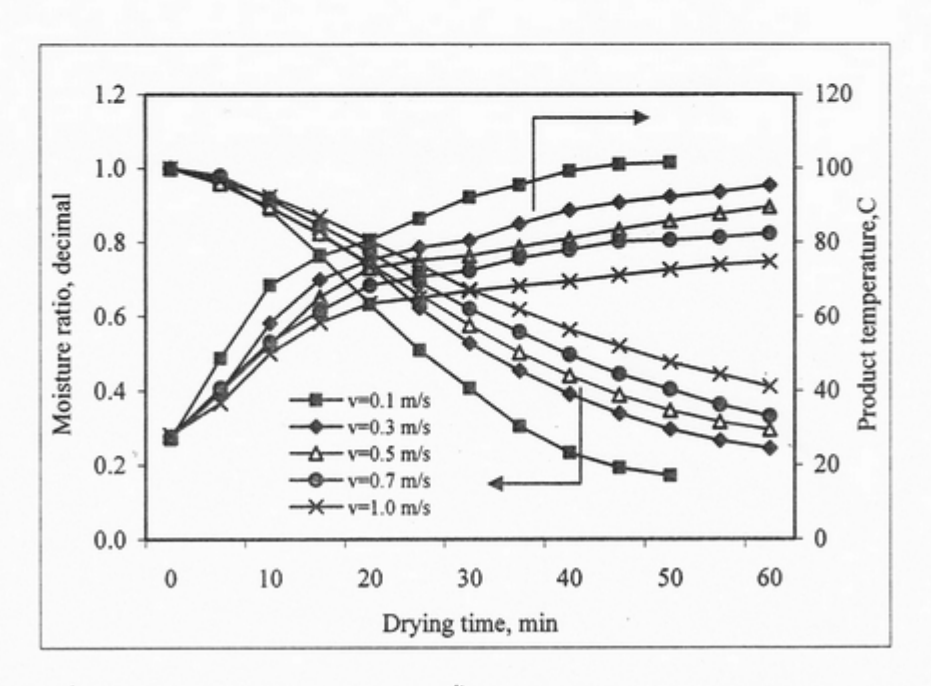
รูปที่ 4 แสดงความสัมพันธ์ระหว่างอัตราส่วนความชึ้นกับเวลา ที่กำลังไฟฟ้าต่างๆ โดยกำหนด ความเร็วลมให้คงที่เท่ากับ 0.5 m/s จากการทดลองสรุปได้ว่า อัตราส่วนความชื้นจะลดลงอย่างรวดเร็ว เมื่อเพิ่มกำลังไฟฟ้าให้กับแท่งอินฟราเรด โดยที่กำลังไฟฟ้าเท่ากับ 640 W จะมีอัตราการลดลงของ ความชื้นเร็วที่สุด ในขณะที่อัตราการลดลงของความชื้นจะช้าที่สุด เมื่อใช้กำลังไฟฟ้าเท่ากับ 260 W หากพิจารณาที่อัตราส่วนความชื้นเท่ากับ 0.5 พบว่า การป้อนกำลังไฟฟ้าให้กับแท่งอินฟราเรดเท่ากับ 640 W จะใช้เวลาในการอบแห้งสั้นกว่ากรณีป้อนกำลังไฟฟ้า 470 W, 370 W และ 260 W เท่ากับ 43%, 94% และ 143 % ตามลำดับ ซึ่งสามารถให้เหตุผลได้ว่า การเพิ่มกำลังไฟฟ้าที่จ่ายให้กับแท่ง อินฟราเรดสูงขึ้น ส่งผลให้ความเข้มของรังสีที่แผ่จากแท่งอินฟราเรดเพิ่มขึ้น ทำให้เนื้อได้รับพลังงาน ความร้อนเพิ่มมากขึ้นตามไปด้วย ด้วยเหตุนี้ทำให้น้ำภายในเนื้อสามารถระเหยได้เร็วขึ้น



197



รูปที่ 4 ความสัมพันธ์ระหว่างอัดราส่วนความชื้นกับเวลา สำหรับการอบแห้งด้วยลมร้อนร่วมกับ รังสีอินฟราเรตที่ความเร็วลม 0.5 m/s



รูปที่ 5 ความสัมพันธ์ระหว่างอัตราส่วนความชื้นกับเวลา สำหรับการอบแห้งด้วยลมร้อนร่วมกับ รังสีอินฟราเรคที่ P=640~W

ในรูปที่ 5 แสดงความสัมพันธ์ระหว่างอัตราส่วนความชิ้นกับเวลา ที่ความเร็วลมต่าง ๆ โดย ควบคุมกำลังไฟฟ้าที่จ่ายให้แท่งอินฟราเรดเท่ากับ 640 W จากการทดลองพบว่าอัตราส่วนความชิ้นจะ ลดลงตามระยะเวลา และที่ความเร็วลม 0.1 m/s จะมีอัตราส่วนความชิ้นลดลงเร็วที่สุด เมื่อเทียบกับที่ ความเร็วลมต่าง ๆ เมื่อพิจารณาที่อัตราส่วนความชิ้นเท่ากับ 0.5 ซึ่งเป็นค่าที่สอดคล้องกับความชิ้นของ เนื้อแดดเดียว พบว่า การอบแห้งโดยใช้ความเร็วเท่ากับ 0.1 m/s จะใช้เวลาสั้นกว่ากรณีใช้ความเร็วลม 0.3 m/s, 0.5 m/s, 0.7 m/s และ 0.9 m/s เท่ากับ 25%, 43%, 54% และ 79% ตามลำดับ ซึ่งสรุปผล การทดลองได้ว่า การอบแห้งเนื้อแดดเดียวด้วยลมร้อนร่วมกับรังสีอินฟราเรดที่ความเร็วต่ำ จะมีอัตราการ อบแห้งสูงกว่ากรณีใช้ความเร็วลมสูง ซึ่งสามารถอชิบายได้ดังนี้ เนื่องจากพฤติกรรมการให้ความร้อน ของการแผ่รังสี จะมีข้อแตกต่างจากการให้ความร้อนด้วยลมร้อน คือ ความร้อนจากแท่งอินฟราเรดจะถูก แผ่ไปยังเนื้อโดยตรง โดยไม่ต้องอาศัยตัวกลางการถ่ายเทความร้อนใด ๆ ดังนั้นจึงส่งผลให้อุณหภูมิที่ ผิวของเนื้อสูงกว่าอุณหภูมิของลมร้อนที่ไหลผ่าน ด้วยเหตุนี้ จึงทำให้เกิดการถ่ายเทความร้อนที่ถ่ายเทจากเนื้อมี ปริมาณที่มากขึ้น ซึ่งจะสอดคล้องกับอัตราการเพิ่มขึ้นของอุณหภูมิเนื้อที่แสดงในรูปที่ 5

Infrared power (W)	Velocity (m/s)	Drying time (min)	Drying rate (kg/hr)	Specific energy consumption (MJ/kg-H ₂ O evap)
260	0	95	0.032	29.6
	0.5	85	0.035	43.0
	1.0	185	0.016	122.7
370	0	70	0.043	31.1
	0.5	65	0.044	41.4
	1.0	105	0.029	83.5
470	0	50	0.060	28.2
	0.5	50	0.060	37.9
	1.0	70	0.043	64.1
640	0	35	0.086	26.9
	0.5	35	0.086	33.7
	1.0	48	0.063	53.7

ตารางที่ 2 ผลการทดลองการอบแห้งเนื้อด้วยลมร้อนร่วมกับรังสีอินฟราเรด หมายเหตุ พิจารณาที่อัตราส่วนความชื้นเท่ากับ 0.5

ตารางที่ 2 แสดงพลังงานที่ใช้ในการอบแห้งโดยใช้ขดลวดความร้อนร่วมกับรังสีอินฟราเรดซึ่ง ประกอบด้วยพลังงาน 3 ส่วน คือ พลังงานที่จ่ายให้พัดลม ขดลวดความร้อน และแท่งอินฟราเรด จากการศึกษาสามารถสรุปได้ดังนี้

พิจารณาที่ความเร็วลมคงที่

198

จากการศึกษาพบว่า ความสิ้นเปลืองพลังงานจำเพาะจะลดลง เมื่อเพิ่มกำลังไฟฟ้าที่จ่ายให้กับ แท่งอินฟราเรด ทั้งนี้เนื่องจาก เปอร์เซ็นต์การลดลงของระยะเวลาการอบแห้ง มากกว่าเพิ่มเปอร์เซ็นต์ การเพิ่มขึ้นของพลังงานที่ใช้

การศึกษาเปรียบเทียบการอบแห้งด้วยลมร้อนและลมร้อนร่วมรังสีอินฟราเรด

199

พิจารณาที่กำลังไฟฟ้าของแท่งอินฟราเรดคงที่

จากการศึกษาพบว่า ความสิ้นเปลืองพลังงานจำเพาะจะเพิ่มขึ้น เมื่อเพิ่มความเร็วลม ทั้งนี้ เกิดจากอากาศจะเป็นตัวกลางที่ทำให้อุณหภูมิที่ผิวของผลิตภัณฑ์ลดลง ทำให้อัตราการเพิ่มขึ้นของ อุณหภูมิผลิตภัณฑ์กรณีที่ใช้ความเร็วลมสูงค่ำกว่ากรณีที่ใช้ความเร็วลมต่ำ ดังจะเห็นได้จากรูปที่ 5 ซึ่ง ส่งผลให้ระยะเวลาการอบแห้งนานขึ้น

การเปรียบเทียบการอบแห้งด้วยลมร้อนและการอบแห้งด้วยลมร้อนร่วมกับรังสีอินฟราเรด

จากการศึกษาสามารถสรุปข้อแตกต่างของการอบแห้งเนื้อด้วยลมร้อน และการอบแห้งเนื้อด้วยลม ร้อนร่วมกับรังสีอินฟราเรคได้ดังนี้

กลไกการถ่ายเทความร้อน

กลไกของการอบแห้งด้วยลมร้อน กระบวนการจะเริ่มจากความร้อนถ่ายเทจากลมร้อนด้วยการ พาความร้อนไปยังผิวของเนื้อ หลังจากนั้นจะเกิดการนำความร้อนจากผิวไปสู่เนื้อด้านใน ด้วยเหตุนี้ อุณหภูมิของเนื้อจะต่ำกว่าลมร้อนซึ่งเป็นตัวกลางการถ่ายเทความร้อนเสมอ ดังแสดงในรูปที่ 3 สำหรับ ลมร้อนที่พัดผ่านเนื้อ นอกจากจะเป็นตัวกลางการถ่ายเทความร้อนแล้ว ยังทำหน้าที่เป็นตัวกลางการ ถ่ายเทมวลด้วย โดยจะทำหน้าที่ลดความชื้นที่ผิวของเนื้อ

กลไกของการอบแห้งด้วยลมร้อนร่วมกับรังสือินฟราเรด การถ่ายเทความร้อนในการอบแห้ง ด้วยเทคนิคแบบผสมผสานนี้ สามารถแบ่งการวิเคราะห์ออกเป็น 2 ช่วง ดังนี้ ช่วงแรก คือ อุณหภูมิที่ ผิวของเนื้อต่ำกว่าลมร้อน ซึ่งเนื้อจะได้รับความร้อนจาก 2 แหล่ง คือ จากลมร้อนและแท่งอินฟราเรด โดย กลไกการถ่ายเทความร้อนในส่วนของลมร้อน และมวลจะเกิดขึ้นในลักษณะเช่นเดียวกับที่ได้อธิบายไว้ใน กรณีการอบแห้งด้วยลมร้อน สำหรับในส่วนของแท่งอินฟราเรด การถ่ายเทความร้อนจะอาศัยหลักการ แผ่รังสี ซึ่งไม่ต้องอาศัยตัวกลางในการส่งถ่ายความร้อน ดังนั้นรังสีหรือคลื่นความร้อนจึงถูกส่งไปยังผิว ของเนื้อโดยตรง ซึ่งจากงานวิจัยที่ผ่านมากล่าวไว้ว่า คลื่นความร้อนบางส่วนสามารถทะลุผ่านเข้าไปผิว ในของวัสดุได้ ทำให้มีประสิทธิภาพการถ่ายเทความร้อนสูง สำหรับในช่วงที่ 2 คือ ช่วงอุณหภูมิที่ผิว ของเนื้อสูงกว่าลมร้อน ในช่วงนี้ เนื้อจะรับความร้อนจากแท่งอินฟราเรดเพียงแหล่งเดียว ในขณะเดียวกัน เนื้อจะสูญเสียความร้อนให้กับลมร้อนที่พัดผ่าน ซึ่งในช่วงนี้ ลมร้อนจะทำหน้าที่ระบายความชิ้นที่ผิวของ เนื้อ ดังนั้นหากใช้ความเร็วลมที่สูง ก็จะมีผลทำให้เนื้อสูญเสียความร้อนมากขึ้น ซึ่งสามารถพิจารณาได้ จากรูปที่ 5

2. ระยะเวลาการอบแห้ง อัตราการอบแห้ง และความสิ้นเปลืองพลังงานจำเพาะ

ผลจากการศึกษาพบว่า การอบแห้งเนื้อด้วยลมร้อนร่วมกับรังสีอินฟราเรด จะใช้ระยะเวลา การอบแห้งที่สั้น หรืออัตราการอบแห้งสูงกว่าการอบแห้งด้วยลมร้อนเพียงอย่างเดียว นอกจากนั้นยัง พบว่า ความสิ้นเปลืองพลังงานจำเพาะกรณีอบแห้งด้วยลมร้อนร่วมกับรังสีอินฟราเรดมีค่าต่ำกว่าการ อบแห้งด้วยลมร้อนเพียงอย่างเดียว ทั้งนี้เป็นผลมาจากจุดเด่นของแท่งอินฟราเรด ในส่วนของ ประสิทธิภาพการให้ความร้อน โดยมีลมร้อนเป็นส่วนที่ช่วยในการระบายความชื้นที่ผิวของเนื้อ ในทาง ตรงกันข้าม หากพิจารณาความสิ้นเปลืองพลังงานจำเพาะของการอบแห้งด้วยลมร้อน พบว่า มีค่า

200

ค่อนข้างสูง ทั้งนี้เนื่องจากประสิทธิภาพการถ่ายเทความร้อนด้วยวิธีการนี้จะไม่ดีเท่าที่ควร โดยสามารถ สังเกตเห็นได้จาก อัตราการเพิ่มขึ้นของอุณหภูมิผลิตภัณฑ์ ที่นำเสนอในรูปที่ 3 ซึ่งจะมีลักษณะการ เพิ่มขึ้นของอุณหภูมิผลิตภัณฑ์อย่างช้า ๆ

3. กุณภาพของผลิตภัณฑ์ในส่วนของการพิจารณาเกี่ยวกับคุณภาพของผลิตภัณฑ์ ได้ตรวจสอบ โดยการเปรียบเทียบกับคุณภาพของเนื้อแดดเดียวที่วางขายตามท้องตลาด ซึ่งได้ให้กลุ่มเกษตรกรเป็นผู้ พิจารณาคุณภาพในด้านสี และการหดตัว พบว่าคุณภาพของเนื้อที่ผ่านการอบแห้งด้วยลมร้อนในทุก เงื่อนไขอยู่ในเกณฑ์ที่ยอมรับได้ อย่างไรก็ตามในทางปฏิบัติควรเลือกเงื่อนไขที่มีความสิ้นเปลืองพลังงาน จำเพาะต่ำที่สุด ในส่วนของคุณภาพเนื้อที่ผ่านการอบแห้งด้วยลมร้อนร่วมกับรังสือินฟราเรด พบว่า คุณภาพของเนื้อแตดเดียวจะอยู่ในเกณฑ์ที่ยอมรับได้เมื่อใช้ความเร็วลมตั้งแต่ 0.3 m/s ขึ้นไป จากการ ทดลองพบว่า ที่ความเร็วลมต่ำกว่า 0.3 m/s เนื้อจะเกิดการหดตัวค่อนข้างมาก ในขณะที่สีผิวก็จะเข้ม และมีรอยไหม้เป็นจุด ๆ ดูคล้ายคลึงกับเนื้อย่าง ซึ่งจะเกิดขึ้นกับทุกคำกำลังไฟฟ้าที่จ่ายให้กับแท่ง อินฟราเรด

สรุป

งานวิจัยนี้ได้ศึกษาเปรียบเทียบการอบแห้งเนื้อแดดเดียวด้วยลมร้อน และลมร้อนร่วมกับรังสี อินฟราเรด จากการศึกษาพบว่า คุณภาพของเนื้อที่ผ่านการอบแห้งทั้งสองเทคนิคอยู่ในเกณฑ์ที่ยอมรับ ได้ โดยมีข้อแนะนำสำหรับการอบแห้งด้วยลมร้อนร่วมกับรังสีอินฟราเรด คือ ควรใช้ความเร็วลมอย่าง น้อย 0.3 m/s สำหรับสมรรถนะโดยรวมของการอบแห้งทั้งสองเทคนิค พบว่า การอบแห้งเนื้อด้วยลมร้อน ร่วมกับรังสีอินฟราเรดให้ผลที่ดีกว่าการอบแห้งด้วยลมร้อนเพียงอย่างเดียว คือ ใช้ระยะเวลาการอบแห้ง สั้น อัตราการอบแห้งสูง และความสิ้นเปลืองพลังงานจำเพาะต่ำ

กิตติกรรมประกาศ

งานวิจัยนี้ได้รับการสนับสนุนจากมหาวิทยาลัยอุบลราชธานี สำนักงานกองทุนสนับสนุนการ วิจัย (สกว.) และสำนักงานคณะกรรมการการอุดมศึกษา (สกอ.)

เอกสารอ้างอิง

- Afzal, T.M. and Abe, T. 1998. "Diffusion in potato during far infrared radiation drying". Journal of Food Engineering. 37: 353-365.
- Afzal, T.M. and Abe, T. 2000. "Simulation of moisture changes in barley during far infrared radiation drying". Computers and Electronics in Agriculture. 26: 137-145.
- Chu, K.J. and Chou, S.K. 2003. "Low-cost drying methods for developing countries".

 Trends in Food Science & Technology. 14: 519-528.
- Glouannec, P., Lecharpentier, D., and Noel, H. 2002. "Experimental survey on the combination of radiating infrared and microwave sources for the drying of porous material". Applied Thermal Engineering. 22:1689-1703.
- Hashimoto, A. and Kameoka, T. 1999. "Effect of infrared irradiation on drying characteristics of wet porous materials." Drying Technology-An International Journal. 17: 1613 – 1626.

การศึกษาเปรียบเทียบการอบแห้งด้วยลมร้อนและลมร้อนร่วมรังสีอินฟราเรด 201 Isengard, H.D. 1995. "Rapid water determination in foodstuffs". Trends in Food Science & Technology. 6: 155-162. Sakai, N. and Hanzawa, T. 1994. "Applications and advances in far-infrared heating in Japan". Trends in Food Science & Technology. 5: 357-362. Sheridan, P. and Shilton, N. 1999. "Application of for infrared radiation to cooking of meat Products". Journal of Food Engineering. 41: 203-208.